

بار زدایی فرکانسی مبتنی بر پایش ناحیه گسترده

مسعود حاجی اکبری^{*}، محمدحسین خانزاده^۱

۱- دانشجوی دکتری، دانشگاه صنعتی اصفهان ۲- دانشیار، دانشگاه امام حسین (ع)

(دریافت: ۹۵/۱۰/۰۱، پذیرش: ۹۵/۰۶/۲۸)

چکیده

وقوع کسری توان‌های بزرگ مهم‌ترین عامل وقوع خاموشی‌های سراسری در سامانه‌های قدرت است. کسری توان‌های بزرگ معمولاً در اثر خروج نیروگاه‌های بزرگ یا خطوط انتقال از مدار ایجاد می‌شوند. با توجه به اهمیت سامانه قدرت در رشد اقتصادی کشورها و زندگی روزمره مردم، ایجاد خاموشی سراسری می‌تواند از اهداف انجام عملیات خرابکارانه و یا حملات نظامی باشد. بار زدایی فرکانسی روشی متداول برای جلوگیری از خاموشی سراسری در هنگام وقوع کسری توان‌های بزرگ است. در حقیقت، طرح‌های بار زدایی با قطع بخشی از بار سامانه، تعادل توان را به سرعت برقرار نموده و پایداری سامانه را حفظ می‌نمایند. در این مقاله طرح بار زدایی فرکانسی مبتنی بر سامانه پایش ناحیه گسترده ارائه شده است. در این طرح بار زدایی با استفاده از تخمین حداقل فرکانس، مقدار باری که در هنگام وقوع کسری توان‌های بزرگ برای حفظ پایداری سامانه باید جدا شود، تعیین می‌شود. با استفاده از مطالعات شبیه‌سازی، کارایی طرح بار زدایی پیشنهادی و عملکرد مناسب آن با تغییر پارامترهای سامانه به اثبات رسیده است.

کلیدواژه‌ها: بار زدایی فرکانسی، پایداری فرکانس، سامانه پایش ناحیه گسترده

Underfrequency Load Shedding Based on Wide Area Monitoring System

M. Hajikbari*, M. H. Khanzade

Imam Hossein University

(Received: 18/09/2016; Accepted: 21/12/2016)

Abstract

Occurrence of large power deficits are the main cause of black outs in power systems. Usually, large power deficits occur as a result of large generating units or tie-lines outage. Considering the impact of electricity on economic growth of countries and daily life of people, triggering a blackout might be a goal of sabotage or military attacks. Underfrequency load shedding is commonly used to prevent blackout in case of large power deficits. In fact by curtailing part of the loads, load shedding schemes retain the power balance and keep the system stability. In this paper, an underfrequency load shedding method based on wide area monitoring system is proposed. In this load shedding scheme, the amount of load to be shed, in case of large power deficits, to preserve the stability of power system is determined based on the estimated minimum frequency. The effectiveness of the proposed method in different conditions, considering power system parameters variation, is proved using simulation studies.

Keywords: Underfrequency Load Shedding, Frequency Stability, Wide Area Monitoring System

* Corresponding Author E-mail: khanzade@ihu.ac.ir

Advanced Defence Sci. & Tech. 2017, 10, 243-250.

www.SID.ir

در مشتق فرکانس اندازه گیری شده می تواند این طرح بار زدایی را دچار اشتباہ کند.

برای رفع مشکل مربوط به تغییر ثابت اینرسی، روشی مبتنی بر به روزرسانی ثابت اینرسی در مراجع [۱ و ۲] ارائه شده است. اگر چه در این روش مشکل خطای مشتق فرکانس همچنان باقی است. در این مقاله روشی مبتنی بر تخمین حداقل فرکانس برای محاسبه کسری توان و اجرای طرح بار زدایی فرکانسی بر اساس آن پیشنهاد می شود. در طرح بار زدایی پیشنهادی، فرکانس باس های ژنراتوری سامانه قدرت توسط سامانه پایش ناحیه گستردۀ اندازه گیری شده و به مرکز کنترل ارسال می شود. سپس در مرکز کنترل حداقل فرکانس سامانه تخمین زده شده و بر اساس آن مقدار باری که برای حفظ پایداری سامانه باید حذف شود، تعیین می گردد. در مرحله بعد با توجه به اولویت بارها، بارهایی که باید قطع شوند تعیین شده و فرمان قطع به رله های مربوطه ارسال می شود. در این مقاله با شبیه سازی های انجام شده بر روی یک سامانه قدرت نمونه، کارایی طرح بار زدایی فرکانسی پیشنهادی سنجیده شده است.

۲. سامانه پایش ناحیه گستردۀ

سامانه پایش ناحیه گستردۀ با استفاده از جمع آوری و تحلیل داده های به دست آمده از واحد های اندازه گیر فازوری، امکان نظارت بر شبکه را در سطح وسیع، برای تحلیل وضعیت سامانه به صورت زمان واقعی فراهم می آورد. در حالت کلی، سامانه پایش ناحیه گستردۀ از سه بخش به هم پیوسته شامل بخش های اندازه گیری، کنترل و شبکه های مخابراتی تشکیل می شود. در بخش اندازه گیری، با استفاده از واحد های اندازه گیر فازوری، پارامتر های مختلف شبکه اندازه گیری می شود. مرکز کنترل، الگوریتم های مرتبط با پایش، بهره برداری، حفاظت و کنترل سامانه های قدرت را اجرا می کند و بخش مخابراتی به صورت یک واسط میان دو بخش دیگر عمل می کند که وظیفه انتقال داده بین دو بخش دیگر را دارد [۱۰]. در شکل (۱) شماتیک سامانه پایش ناحیه گستردۀ برای پیاده سازی طرح بار زدایی در سامانه قدرت نمایش داده شده است.

در طرح بار زدایی پیشنهادی، با استفاده از واحد های اندازه گیری فرکانس باس های ژنراتوری سامانه اندازه گیری شده و از طریق کانال های مخابراتی همچون الیاف نوری، برای مرکز کنترل ارسال می شود. در مرکز کنترل با استفاده از این داده ها و روشی که در قسمت بعد توضیح داده می شود، مقدار باری که لازم است حذف گردد، تعیین می شود. سپس با توجه به اولویت بارها، فرمان قطع از طریق ارتباط مخابراتی به تعدادی از رله های بار زدایی فرکانسی ارسال می شود.

۱. مقدمه

عواملی همچون وقوع خطا، بلایای طبیعی و یا حمله نظامی می تواند باعث خروج نیروگاه های بزرگ یا خطوط انتقال از مدار شود. در چنین شرایطی به دلیل بزرگ بودن اغتشاش، کنترل کننده های سامانه قدرت قادر به برقراری سریع تعادل بین تولید و مصرف و در نتیجه حفظ پایداری سامانه نخواهد بود. برای برقراری سریع تعادل توان در چنین شرایطی می توان بخشی از بار سامانه را قطع نمود. این کار عموماً توسط طرح های بار زدایی فرکانسی^۱ انجام می شود. در طرح های بار زدایی فرکانسی در صورت عبور فرکانس از محدوده آستانه از پیش تعیین شده، با قطع بخشی از بار سامانه تعادل بین تولید و مصرف به سرعت برقرار شده و از وقوع خاموشی سراسری در سامانه قدرت جلوگیری می شود [۱ و ۲]. بدین صورت از پیامدهای اقتصادی و روانی ناشی از وقوع خاموشی سراسری در شبکه سراسری برق جلوگیری می شود.

طرح های بار زدایی زیر فرکانس را می توان به طور کلی به دو دسته سنتی و وفقی تقسیم نمود. در طرح های بار زدایی سنتی بار زدایی بدون در نظر گرفتن اندازه اغتشاش انجام می شود. در حقیقت، در صورت عبور فرکانس از محدوده آستانه از پیش تعیین شده، مقدار معینی بار قطع می گردد. مقدار باری که باید در هر مرحله حذف شود و همچنین تعداد مراحل بار زدایی به صورتی تعیین می شود که در صورت وقوع بدترین پیشامد ممکن، پایداری سامانه قدرت حفظ شود [۳-۶]. در این روش، بار زدایی بدون در نظر گرفتن اندازه اغتشاش انجام می شود و در بسیاری از حالات بار حذف شده بیشتر یا کمتر از مقدار لازم است. پس در سامانه هایی که از طرح های بار زدایی سنتی استفاده می شود، پس از وقوع اغتشاش، امکان قرار گرفتن فرکانس در محدوده ای بالاتر یا پایین تر از حد مجاز وجود دارد [۱ و ۲].

به دلیل مشکلات طرح های بار زدایی سنتی، نسل بعدی طرح های بار زدایی، یعنی طرح های بار زدایی وفقی مطرح شدند. در این طرح بار زدایی با توجه به معادله نوسان و با توجه به مقدار مشتق فرکانس در لحظه پس از وقوع اغتشاش، کسری توان تخمین زده می شود. سپس به منظور بازگرداندن فرکانس به محدوده مجاز، مقدار مناسب بار در چندین مرحله قطع می شود [۷-۹]. مشکل اصلی این طرح های بار زدایی، وابسته بودن مقدار کسری توان محاسبه شده توسط معادله نوسان به ثابت اینرسی سامانه است. یعنی اگر مقدار دقیق ثابت اینرسی سامانه در دسترس نباشد یا اینکه ثابت اینرسی دچار تغییر شود، این روش دارای خطای قابل توجهی خواهد بود. همچنین خطاهای موجود

^۱ Underfrequency Load Shedding

است منجر به دام افتادن در حداقل های محلی شود. در تحقیقات اولیه V_{max} به صورت تجربی در مقادیر ۱۰-۲۰٪ رنج دینامیک تنظیم می شود.

ثابت های شتاب آگاهی (p_{incr}) و اجتماعی (g_{incr})، به ترتیب شدت جذب ذرات به سمت بهترین تجربه فردی ذره و بهترین تجربه گروهی را تعیین می کنند. انتخاب یک مقدار بزرگ برای p_{incr} نسبت به g_{incr} منجر به سرگردانی بیش از حد ذرات در فضای جستجو می شود، در حالی که انتخاب مقدار بزرگ برای g_{incr} منجر به حرکت سریع از دحام به سمت حداقل های محلی می شود. اما انتخاب مقادیر تقریباً یکسان برای این دو ثابت، با ایجاد یک توازن بین کشش به سوی بهترین موقعیت هایی که تاکنون تجربه شده و کشش به سمت حداقل جهانی، منجر به مؤثر ترین جستجو می شود. معمولاً این دو مقدار برابر ۱ انتخاب می شوند.

W ضریب اینرسی اولین تکرار و w_{damp} ضریب میرایی اینرسی است که با استفاده از آن ضریب اینرسی تکرارهای بعدی با توجه به ضریب اینرسی تکرار قبلی محاسبه می شود [۱۶]. x_{max} و x_{min} نیز حد پایین و بالای متغیرهای تصمیم است که با توجه به خصوصیات هر مسئله تعیین می شود.

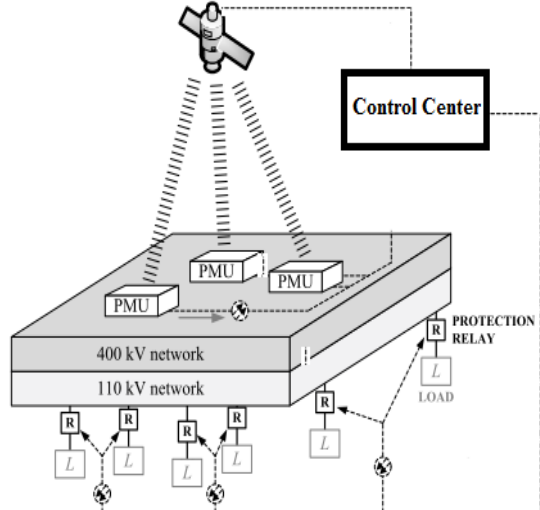
جدول ۱. پارامترهای انتخاب شده برای الگوریتم PSO

پارامترها	تابع اصلی	تابع درجه سه
g_{incr} and p_{incr}	۲	۲
x_{min}	-۵	-۵
x_{max}	۵	۵
Dx	$x_{max} - x_{min}$	$x_{max} - x_{min}$
W	۱	۱
w_{damp}	۰/۹۹	۰/۹۹
v_{max}	$0/1*dx$	$0/1*dx$
Max-iteration	۱۰۰	۲۰۰
N_{pop}	۱۰۰	۱۰۰

۳-۱. پاسخ فرکانسی سامانه پس از وقوع اغتشاش پس از وقوع حادثی که منجر به کسری ناگهانی توان می شوند، فرکانس سامانه به صورتی که در شکل (۲) مشاهده می شود، کاهش می یابد. رابطه زیر افت فرکانس پس از وقوع کسری را توصیف می کند [۷]:

$$\Delta f(t) = a + b e^{-ct} \sin(dt - e) \quad (1)$$

این رابطه دارای پنج مجهول است که با تخمین آن ها می توان حداقل فرکانس را تخمین زد. روند تخمین فرکانس در قسمت بعد ارائه می شود.



شکل ۱. شماتیک سامانه پایش ناحیه گستردگی

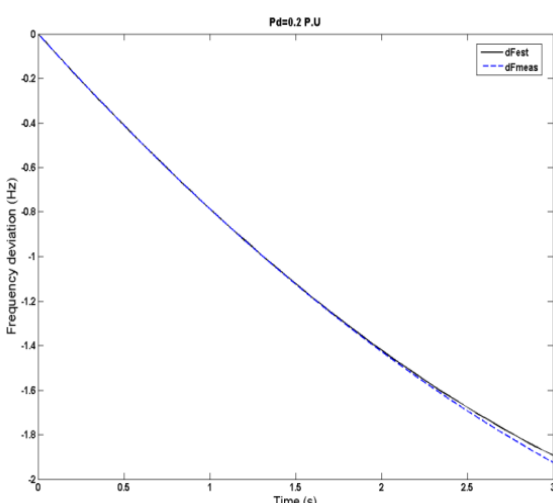
۳. بار زدایی فرکانسی با استفاده از تخمین حداقل فرکانس سامانه

در این قسمت روش بار زدایی پیشنهادی ارائه شده است. در این روش سعی شده که با استفاده از حداقل تعداد نمونه ها و در حداقل زمان ممکن، حداقل فرکانس سامانه پس از وقوع اغتشاش پیش بینی شود. سپس بر اساس حداقل فرکانس پیش بینی شده، مقدار باری که برای حفظ پایداری سامانه لازم است قطع شود، تعیین گردد. بنابراین ابتدا، پاسخ فرکانسی سامانه پس از وقوع کسری توان و همچنین تابعی که بتواند این پاسخ فرکانسی را توصیف نماید، بررسی شد. پس از آن، با استفاده از الگوریتم PSO تابع مورد نظر بر اطلاعات اندازه گیری شده فرکانس برآش می شود. با استفاده از برآش منحنی پارامترهای مجھول تابع به دست می آید. حال با داشتن پارامترهای تابعی که افت فرکانس ایجاد شده را توصیف می نماید، می توان مقدار حداقل تابع که همان حداقل فرکانس سامانه پس از اغتشاش است را محاسبه کرد و با توجه به آن مقدار باری که باید قطع شود را تعیین نمود. الگوریتم PSO در مرجع [۱۱] معرفی شده است. دلیل انتخاب این الگوریتم، سرعت بالا و قابلیت اطمینان این الگوریتم تکاملی است که این ویژگی ها سبب استفاده از این الگوریتم در کاربردهای مختلف شده است [۱۲-۱۵]. پارامترهای انتخاب شده برای برآش منحنی ها توسط الگوریتم PSO در جدول (۱) آورده شده است.

پارامتر V_{max} حداقل سرعتی را که ذرات در هر تکرار می توانند به آن برسند، تعیین می کند. اگر این مقدار خیلی بزرگ باشد، ممکن است ذرات از روی راه حل های مناسبی که قبلاً به آن رسیده اند پرواز کنند و بسیار کوچک بودن این پارامتر ممکن

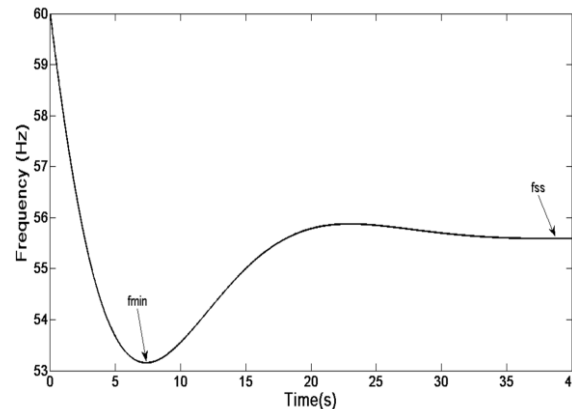
که در آن، $\Delta f_{meas}(t_i)$ فرکانس اندازه گیری شده سامانه در لحظه t_i ، $\Delta f_{est}(t_i)$ نمونه تخمین زده شده معادل آن و تعداد نمونه های فرکانس است. الگوریتم PSO سعی می کند که پارامترهای تابع $\Delta f_{est}(t)$ را به صورتی تعیین نماید تاتابع هدف حداقل شود. ایده آآل این است که مقدار تابع هدف برابر صفر شود.

همان طور که شکل (۳) نشان می دهد، تابع درجه سه برای تخمین فرکانس تا ۳۸ پس از اختشاش دقت مناسبی دارد. پس با داشتن ضرایب معادله درجه سه یعنی f ، g و h در نتیجه اطلاعات فرکانس تا ۳۸ پس از اختشاش می توان با برازش منحنی (۱) بر این داده ها به وسیله الگوریتم PSO، ضرایب مجھول معادله (۱) را تعیین نمود. برای به دست آوردن این ضرایب توسط الگوریتم PSO همان تابع هدف (۴) استفاده می شود. در اینجا مقدار $\Delta f_{meas}(t_i)$ با جایگذاری t_i در رابطه (۳) به دست آمده و $\Delta f_{est}(t_i)$ نمونه تخمین زده شده توسط رابطه (۱) در زمان t_i است. حال با استفاده این ضرایب می توان فرکانس سامانه تا نقطه حداقل را پیش بینی نمود. سپس با استفاده از حداقل فرکانس تخمین زده شده، مقدار باری که لازم است قطع شود، محاسبه می شود. لازم به ذکر است که پس از هر مرحله بار زدایی فرآیند تخمین فرکانس برای استفاده در مرحله بعد انجام می شود.



شکل ۳. تخمین انحراف فرکانس تا سه ثانیه پس از وقوع اختشاش به ازای کسری توان $0.2 P.U$.

شکل (۴) نشان می دهد که منحنی انحراف فرکانس تخمین زده شده به وسیله برازش منحنی معادله (۱) بر اطلاعات فرکانس تخمین زده شده با استفاده از منحنی درجه سه، انطباق خوبی با پاسخ فرکانسی سامانه دارد.



شکل ۲. افت فرکانس در اثر کسری توان

با توجه به اینکه در لحظات پس از اختشاش، فرکانس باس های ژنراتوری سامانه دارای نوسان است، تخمین کمینه فرکانس با استفاده از هر یک این فرکانس ها دشوار خواهد بود. برای رفع این مشکل می توان از فرکانس مرکز اینرسی استفاده نمود. فرکانس مرکز اینرسی با استفاده از فرکانس باس های ژنراتوری که توسط سامانه پایش ناحیه گسترده به مرکز کنترل ارسال می گردد، به صورت زیر محاسبه می شود:

$$f_{COI} = \frac{\sum_{i=1}^n H_i \cdot f_i}{\sum_{i=1}^n H_i} \quad (2)$$

که در آن، H_i و f_i به ترتیب ثابت اینرسی ژنراتور i و فرکانس باس ژنراتوری i هستند.

۲-۳. تخمین حداقل فرکانس با استفاده از الگوریتم PSO

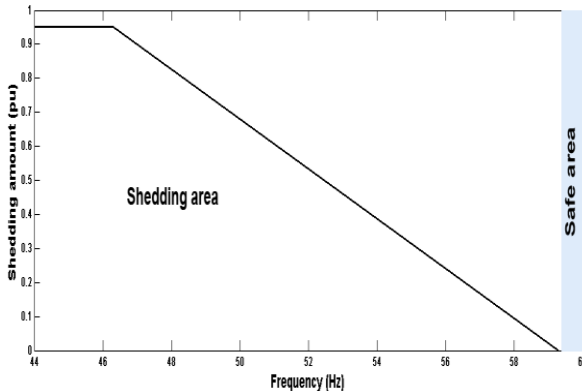
در این قسمت روشی برای تخمین پنج پارامتر اصلی افت فرکانس (تابع اصلی) ارائه می شود. با توجه به اینکه هدف، تخمین فرکانس در سریع ترین زمان ممکن و با استفاده از حداقل نمونه های اندازه گیری شده است، استفاده از تابعی با تعداد پارامترهای مجھول کمتر برای تخمین فرکانس مطلوب است. بررسی ها نشان داد که در سامانه آزمون انتخاب شده (بر اساس گزارش [۱۷]) که پارامترهای آن در بخش ۴ ارائه شده است، با استفاده از نمونه های فرکانس که تا 0.18 پس از اختشاش اندازه گیری شده، می توان انحراف فرکانس سامانه قدرت تا 38 پس از اختشاش را توسط یک تابع درجه سه تخمین زد.

$$\Delta f_{est}(t) = (ft + gt^2 + ht^3) \quad 0 \leq t \leq 3 \quad (3)$$

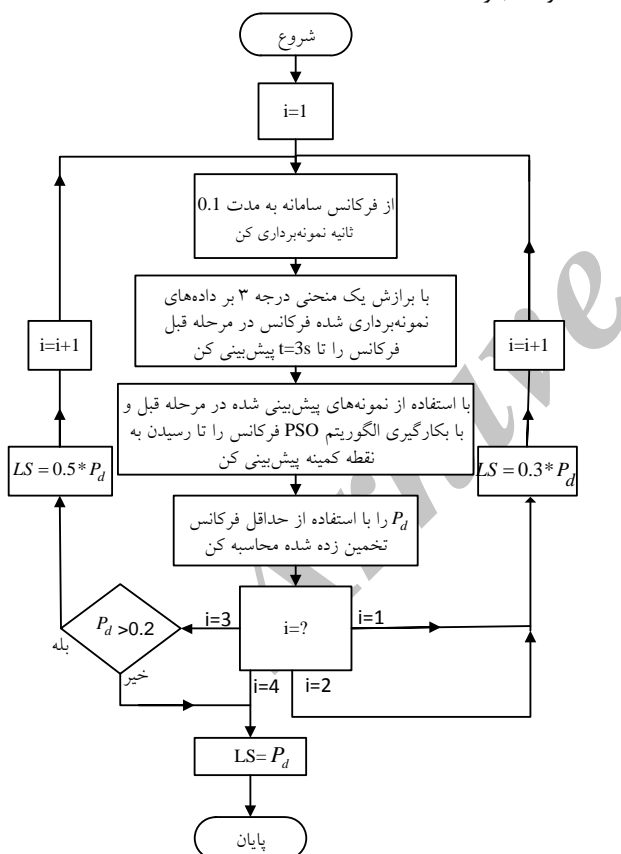
با حداقل سازی تابع هدف بیان شده با رابطه (۴) توسط الگوریتم PSO می توان سه مجھول تابع درجه سه را تخمین زد:

$$Cost = \sum_{i=0}^n abs(\Delta f_{est}(t_i) - \Delta f_{meas}(t_i)) \quad (4)$$

تا فرکانس سامانه پس از وقوع اغتشاش از محدوده مجاز خارج ننشود. فلوچارت این طرح بار زدایی در شکل (۶) نمایش داده شده است.



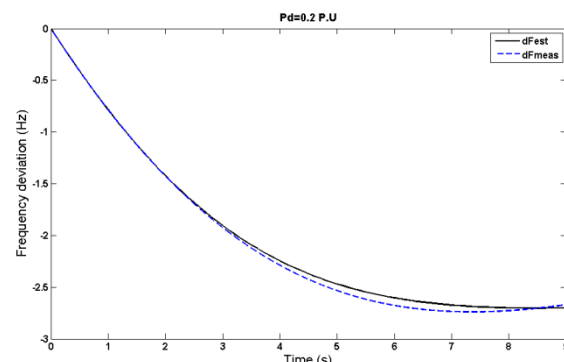
شکل ۵. تخمین مقدار بار زدایی مورد نیاز برای نگه داشتن فرکانس در محدوده مجاز



شکل ۶. فلوچارت طرح بار زدایی با استفاده از تخمین حداقل فرکانس

۴. مطالعات شبیه‌سازی برای بررسی عملکرد طرح بار زدایی مبتنی بر تخمین حداقل فرکانس

برای بررسی عملکرد طرح بار زدایی فرکانسی پیشنهاد شده در بخش (۳)، مطالعات شبیه‌سازی بر روی سامانه آزمون ارائه شده در [۱۷] انجام شده است. پارامترهای این سامانه آزمون در



شکل ۴. تخمین انحراف فرکانس پس از وقوع اختشاش به ازای کسری
توان $P.U / 2$ با استفاده ازتابع معادله (۱)

همچنین بررسی‌های نویسنده‌گان مقاله نشان می‌دهد که هر چند با افزایش مقدار کسری توان خطا‌ی تخمین افزایش می‌یابد، اما با توجه به این نکته که پس از هر مرحله بار زدایی، تخمن انحراف فرکانس انجام می‌شود و در مراحل پیاپی بار زدایی مقدار کسری توان کم خواهد بود، درنهایت این طرح بار زدایی دقیق مناسبی جواهد داشت.

۳-۳. محاسبه کسری توان و انجام پارزدایی

در قسمت قبلی، روش پیش‌بینی حداقل فرکانس سامانه پس از وقوع کسری توان توضیح داده شد. حال با استفاده از حداقل فرکانس، مقدار بار زدایی مورد نیاز تخمین زده می‌شود. کسری توان با حداقل فرکانس رابطه خطی دارد. با توجه به این نکته می‌توان با داشتن حداقل فرکانس، مقدار باری را که باید قطع شود (P_d) تا فرکانس سامانه به محدوده مجاز برگردد، به وسیله منحنی شکل (۵) تعیین کرد. باید توجه شود که این مقدار، کل باری است که باید قطع شود تا فرکانس سامانه به محدوده مجاز باز گردد. در مرحله اول بار زدایی تنها به اندازه ۳۰٪ این مقدار، بار زدایی صورت می‌گیرد.

پس از انجام مرحله اول بار زدایی، فرآیند تخمین فرکانس تکرار شده و مقدار جدید باری که لازم است حذف شود، تعیین می‌گردد. بار قطع شده در مرحله دوم بار زدایی برابر 30% این مقدار خواهد بود. بعد از انجام مرحله دوم بار زدایی دوباره مقدار باری که باید قطع شود تا فرکانس سامانه به محدوده مجاز باز گردد تخمین زده می‌شود. اگر P_d کمتر از 0.2 P.U. باشد، برابر همین مقدار بار در این مرحله قطع شده و بار زدایی خاتمه می‌یابد. اما اگر P_d بیشتر از 0.2 P.U. باشد، بار قطع شده در این مرحله برابر نصف P_d خواهد بود. برای مرحله چهارم بار زدایی نیز P_d تخمین زده می‌شود. اما برخلاف مراحل قبل، مقدار بار قطع شده در این مرحله بار P_d خواهد بود.

پیدا کردن ترتیب بار زدایی در سه یا چهار مرحله انجام می‌گیرد

شکل (۷) عملکرد این طرح بار زدایی در هنگام وقوع کسری توان های $\frac{1}{4}$ تا 1 P.U. را نشان می دهد. از پاسخ های فرکانسی نمایش داده شده در این شکل، مشخص است که طرح بار زدایی توانسته با سرعت و دقت خوبی به اغتشاشات پاسخ دهد و فرکانس را در محدوده مجاز نگه دارد. برای نشان دادن جزئیات عملکرد طرح بار زدایی، مقدار بار قطع شده در هر مرحله، حداقل فرکانس (f_{min}) و فرکانس حالت دائمی (f_{ss}) در جدول (۳) نمایش داده شده اند. با توجه به این جدول می توان دریافت که مقدار f_{min} و f_{ss} در تمامی حالت ها پابین تر از مقادیر مجاز نرفته است، که این نشان دهنده موفقیت طرح بار زدایی در پاسخ به این اغتشاشات است.

جدول (۲) آورده شده است. H ، ثابت اینرسی معادل سامانه، D ضریب میرایی بار، F_H نسبت توان تولید شده توسط توربین های فشار بالا به توان کل، T_R ثابت زمانی بازگرم کننده توربین ها، K_m ضریب بهره توان مکانیکی و R ضریب افتی گاورنر است. یک طرح بار زدایی خوب باید بتواند به سرعت مقدار اغتشاش را تشخیص داده و به سرعت در جهت قطع مقدار بار لازم اقدام نماید تا فرکانس از محدوده مجاز خارج نشود. در این سامانه حداقل Hz $58/4$ و فرکانس حالت دائمی برابر 60 است. اطلاعات بیشتر در مورد سامانه قدرت مطالعه شده، در مرجع [۱۷] ارائه شده است.

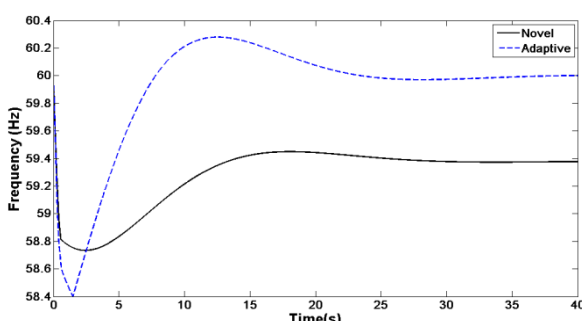
جدول ۲. پارامترهای سامانه مطالعه شده

R	K_m	T_R	F_H	D	H
۰/۱۵	۰/۹۵۱	۸	۰/۲۸	۰/۵	۷

جدول ۳. نتایج عملکرد طرح بار زدایی مبتنی بر حداقل فرکانس به ازای کسری توان $\frac{1}{4}$ تا 1 P.U.

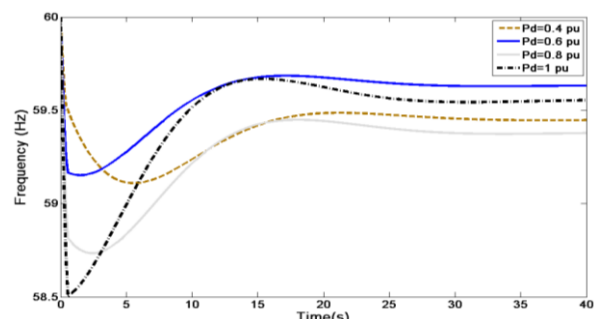
کسری توان(p.u.)	مرحله ۱	مرحله ۲	مرحله ۳	مرحله ۴	کل بار حذف شده	f_{min}	f_{ss}
$\frac{1}{4}$	۰/۱۰۹۹	۰/۰۸۲۲	۰/۱۴۳۸	-	۰/۳۳۷۳	۵۹/۱۱	۵۹/۴۵
$\frac{1}{5}$	۰/۱۲۴۵	۰/۱۱۳۷	۰/۱۲۳۵	۰/۰۹۶۷	۰/۴۵۸۴	۵۹/۲۷	۵۹/۶۳
$\frac{1}{6}$	۰/۱۳۷۰	۰/۱۲۰۵	۰/۱۷۵۱	۰/۱۲۵۷	۰/۵۵۸۳	۵۹/۱۹	۵۹/۶۳
$\frac{1}{7}$	۰/۱۵۱۰	۰/۱۳۴۰	۰/۱۷۴۹	۰/۱۸۷۴	۰/۶۴۷۳	۵۸/۹۶	۵۹/۵۳
$\frac{1}{8}$	۰/۱۶۷۷	۰/۱۳۸۴	۰/۲۰۶۴	۰/۲۱۶۹	۰/۷۲۹۴	۵۸/۷۳	۵۹/۳۸
$\frac{1}{9}$	۰/۱۸۵۰	۰/۱۵۷۴	۰/۲۲۵۵	۰/۲۹۱۳	۰/۸۵۹۲	۵۸/۶۶	۵۹/۶۴
۱	۰/۲۰۲۲	۰/۱۷۰۶	۰/۲۵۸۷	۰/۳۱۷۸	۰/۹۴۹۳	۵۸/۵۰	۵۹/۵۵

۴-۱. وقوع کسری توان $\frac{1}{8}$ پریونیت
در این قسمت عملکرد دو طرح بار زدایی پس از وقوع کسری توان $\frac{1}{8}\text{ P.U.}$ و در شرایطی که پارامترهای سامانه همان مقادیری است که طرح بار زدایی بر اساس آن طراحی شده است (پارامترهای سامانه تغییر نکرده است) بررسی می شود. شکل (۸) نشان می دهد که هر دو طرح بار زدایی مقدار کسری توان را به درستی تشخیص داده اند و با عملکرد سریع توانسته اند فرکانس را در محدوده مجاز نگه دارند.



شکل ۸. مقایسه عملکرد طرح بار زدایی جدید و وقتی به ازای کسری توان $\frac{1}{8}$ پریونیت

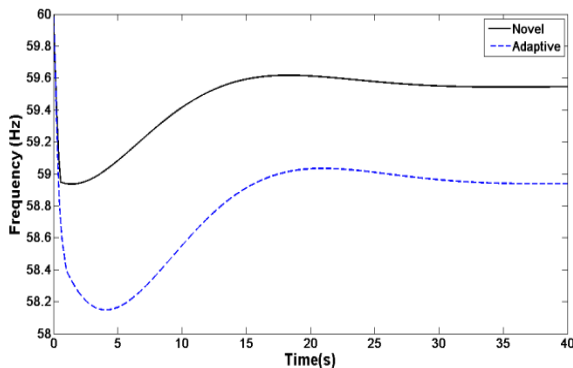
برای بررسی بیشتر کارایی طرح بار زدایی پیشنهادی، این طرح را در شرایط کاری مختلف از جمله تغییر ثابت اینرسی سامانه و تغییر مقدار کسری توان در حین بار زدایی با طرحی که اخیراً در مرجع [۹] ارائه شده است، مقایسه می شود. در ادامه از طرح بار زدایی پیشنهادی مبتنی بر حداقل فرکانس تحت عنوان جدید^۱ و طرح ارائه شده در مرجع [۹] تحت عنوان وقتی^۲ یاد می شود.



شکل ۷. پاسخ فرکانسی سامانه پس از عملکرد طرح بار زدایی به ازای کسری توان های $\frac{1}{4}$ تا 1 P.U.

¹ Novel

² Adaptive



شکل ۱۰. مقایسه عملکرد طرح بار زدایی جدید و وفقی به ازای کسری توان 0.8 P.U. با کاهش پانزده درصدی $1/\text{H}$ شبکه

۵. نتیجه‌گیری

در این مقاله روش بار زدایی فرکانسی مبتنی بر سامانه پایش ناحیه گسترده ارائه شد. در این روش، فرکانس باس‌های ژنراتوری اندازه‌گیری شده و بر اساس آن فرکانس مرکز اینرسی محاسبه می‌شود. سپس با استفاده از نمونه‌های فرکانس، کمینه فرکانس با بهینه‌سازی انجام شده توسط الگوریتم ازدحام ذرات تخمین زده می‌شود. درنهایت با توجه به حداقل فرکانس تخمین زده شده، مقدار باری که لازم است برای حفظ پایداری سامانه قطع شود، تعیین می‌گردد. نتایج شبیه‌سازی نشان داد که طرح پیشنهادی برای کسری توان‌های مختلف عملکرد مناسبی دارد. همچنین، برخلاف طرح‌هایی که کسری توان را بر اساس مشتق فرکانس محاسبه می‌نمایند، طرح پیشنهادی به تغییرات ثابت اینرسی سامانه حساس نیست. به همین دلیل حتی در صورت تغییر پارامترهای سامانه نیز طرح پیشنهادی عملکرد مناسبی دارد.

۶. مراجع

- [1] Ketabi, A.; Hajiakbari Fini, M. "An Underfrequency Load Shedding Scheme for Islanded Microgrids"; Int. J. Elec. Power. 2014, 62, 599-607.
- [2] Ketabi, A.; Hajiakbari Fini, M. "An Underfrequency Load Shedding Scheme for Hybrid and Multiarea Power Systems"; IEEE Trans. Smart Grid 2015, 6, 82-91.
- [3] Lokay, H. E.; Burtnyk, V. "Application of Underfrequency Relays for Automatic Load Shedding"; IEEE Trans. Power App. Syst. 1968, PAS-87, 776-783.
- [4] Berdy, J. "Load Shedding—An Application Guide. Schenectady"; NY, USA: General Electric Company, 1968.
- [5] Maliszewski, R. M.; Dunlop, R. D.; Wilson, G. L. "Frequency Actuated Load Shedding and Restoration Part I—Philosophy"; IEEE Trans. Power App. Syst. 1971, PAS-90, 1452-1459.
- [6] Kundur, P. S. "Power System Stability and Control"; McGraw-Hill: New York, 1994.
- [7] Anderson, P. M.; Mirheydar, M. "An Adaptive Method for Setting Underfrequency Load Shedding Relays"; IEEE Trans. Power Syst. 1992, 7, 647-655.

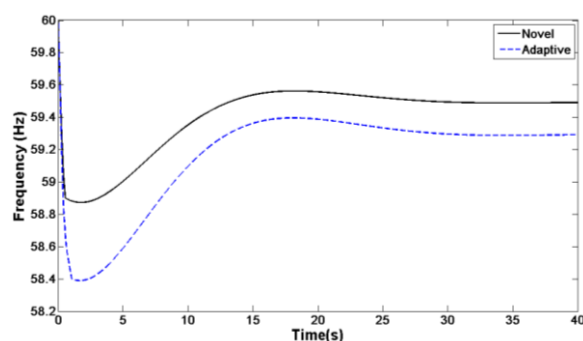
۴-۲. وقوع کسری توان 0.8 P.U. پریونیت همراه با کاهش و افزایش ثابت اینرسی سامانه

طرح بار زدایی باید بتواند در شرایط بحرانی پایداری سامانه را حفظ نموده و از وقوع خاموشی سراسری جلوگیری نماید. در این شرایط ممکن است مقدار دقیق پارامترهای سامانه در اختیار نباشد. بنابراین طرح بار زدایی باید نسبت به تغییر پارامترهای سامانه مقاوم باشد. یکی از پارامترهای سامانه که می‌تواند عملکرد طرح بار زدایی را تحت تأثیر قرار دهد، ثابت اینرسی است.

در طرح بار زدایی وفقی، مقدار کسری توان بر اساس رابطه نوسان محاسبه می‌شود. بنابراین کسری توان محاسبه شده با ثابت اینرسی رابطه مستقیم دارد. پس هر گونه تفاوت بین ثابت اینرسی استفاده شده در طرح بار زدایی و ثابت اینرسی واقعی سامانه، می‌تواند عملکرد این طرح بار زدایی را به شدت تحت تأثیر قرار دهد.

در حالتی که $1/\text{H}$ استفاده شده در طرح بار زدایی، از $1/\text{H}$ واقعی سامانه بیشتر باشد، مقدار کسری توان محاسبه شده در طرح وفقی، از کسری توان واقعی کمتر خواهد بود. پس در این حالت طرح وفقی نمی‌تواند کسری توان را به طور کامل جیران نموده و ممکن است فرکانس سامانه از محدوده مجاز خارج شود.

شکل (۹) نشان می‌دهد که با کاهش 0.8 P.U. درصدی $1/\text{H}$ ، سامانه، هر دو طرح بار زدایی توانسته‌اند در هنگام وقوع کسری توان 0.8 P.U. پایداری سامانه را حفظ نمایند. اما همان‌طور که شکل (۱۰) نشان می‌دهد، با کاهش $15 \text{ درصدی } 1/\text{H}$ ، بار قطع شده توسط طرح وفقی کمتر از مقدار مورد نیاز بوده و فرکانس سامانه از محدوده مجاز خارج شده است. پس در این حالت مقدار بار قطع شده توسط طرح وفقی کمتر از حداقل مقدار لازم برای نگه داشتن فرکانس در محدوده مجاز بوده و بدین ترتیب f_{min} و f_{ss} از مقادیر مجاز تجاوز کرده‌اند.



شکل ۹. مقایسه عملکرد طرح بار زدایی جدید و وفقی به ازای کسری توان 0.8 P.U. با کاهش ده درصدی $1/\text{H}$ شبکه

- [13] M'hamdi, B.; Teguar, M.; Mekhaldi, A. "Optimal Design of Corona Ring on HV Composite Insulator Using PSO Approach with Dynamic Population Size"; IEEE Trans. Dielectr. Electr. Insul. 2016, 23, 1048-1057.
- [14] Manickam, C.; Raman, G. R.; Raman, G. P.; Ganesan, S. I.; Nagamani, C. "A Hybrid Algorithm for Tracking of GMPP Based on P&O and PSO with Reduced Power Oscillation in String Inverters"; IEEE Trans. Ind. Electron. 2016, 63, 6097-6106.
- [15] Kumar, G. S.; Kumar, B. K.; Mishra, M. K. "Mitigation of Voltage Sags with Phase Jumps by UPQC with PSO-Based ANFIS"; IEEE Trans. Power Del. 2011, 26, 2761-2773.
- [16] Passaro, A. "Niching in Particle Swarm Optimization." PhD Thesis, Università di Pisa, Italy, 2007.
- [17] Chang-Chien, L. R.; An, L. N.; Lin, T. W.; Lee, W. J. "Incorporating Demand Response With Spinning Reserve to Realize an Adaptive Frequency Restoration Plan for System Contingencies"; IEEE Trans. Smart Grid 2012, 3, 1145-1153.
- [8] Rudez, U.; Mihalic, R. "Monitoring the First Frequency Derivative to Improve Adaptive Underfrequency Load-Shedding Schemes"; IEEE Trans. Power Syst. 2011, 26, 839-846.
- [9] Rudez, U.; Mihalic, R. "Analysis of Underfrequency Load Shedding Using a Frequency Gradient"; IEEE Trans. Power Del. 2011, 26, 565-575.
- [10] Terzija, V.; Valverde, G.; Cai, D.; Regulski, P.; Madani, V.; Fitch, J.; Skok, S.; Begovic, M. M.; Phadke, A. "Wide-Area Monitoring, Protection, and Control of Future Electric Power Networks"; Proc. IEEE 2011, 99, 80-93.
- [11] Kennedy, J.; Eberhart, R. C. "Particle Swarm Optimization"; Proc. IEEE Int. Conf. Neural Network, 1995, 1942-1948.
- [12] Yoshida, H.; Kawata, K.; Fukuyama, Y.; Takayama, S.; Nakanishi, Y. "A Particle Swarm Optimization for Reactive Power and Voltage Control Considering Voltage Security Assessment"; IEEE Trans. Power Syst. 2000, 15, 1232-1239.

Archive of SID